

ボーン級数による面外多重散乱問題の解析

東海大学海洋学部 学生員 ○樋江井 夕紀夫
東海大学海洋学部 正員 北原道弘

1. はじめに

2次元無限弾性体中に複数個の空洞が存在する場合を考える。本研究では、入射波を平面波と仮定したときの面外多重散乱問題の解析を行う。解析には境界積分方程式法を用いるが、その解法として、ボーン級数による解法を提案する。簡単のため、ここでは2個の空洞問題を設定するが、空洞の数が増加しても解法の要点は同じである。

2. 多重散乱問題の定式化

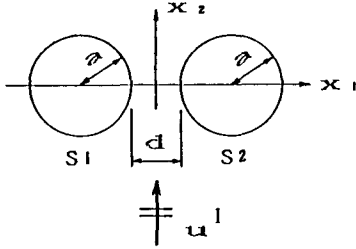


Fig.1 Scattering problem

いま、Fig. 1に示すようなモデルを考える。各空洞の表面 S_1, S_2 上の境界条件は $\partial u / \partial n = 0$ である。このとき、離散化した後の境界積分方程式は次のように書ける。

$$\begin{bmatrix} \mathbf{H}_{11} & \mathbf{H}_{12} \\ \mathbf{H}_{21} & \mathbf{H}_{22} \end{bmatrix} \begin{Bmatrix} \mathbf{u}_1 \\ \mathbf{u}_2 \end{Bmatrix} = \begin{Bmatrix} \mathbf{u}_1^I \\ \mathbf{u}_2^I \end{Bmatrix} \quad (1)$$

ここで、 \mathbf{u}_i^I は入射波であり、 \mathbf{u}_i は各表面上の面外変位である。また、行列 H_{ij} の下添字はj番目の空洞表面からi番目の空洞表面への影響を意味する。

3. ボーン級数による解法

式(1)を次のように変形する。

$$\begin{bmatrix} \mathbf{H}_{11} & \mathbf{0} \\ \mathbf{0} & \mathbf{H}_{22} \end{bmatrix} \begin{Bmatrix} \mathbf{u}_1 \\ \mathbf{u}_2 \end{Bmatrix} = \begin{Bmatrix} \mathbf{u}_1^I \\ \mathbf{u}_2^I \end{Bmatrix} + \begin{bmatrix} \mathbf{0} & -\mathbf{H}_{12} \\ -\mathbf{H}_{21} & \mathbf{0} \end{bmatrix} \begin{Bmatrix} \mathbf{u}_1 \\ \mathbf{u}_2 \end{Bmatrix} \quad (2)$$

いま、次のように置く。

$$\mathbf{A} = \begin{bmatrix} \mathbf{H}_{11} & \mathbf{0} \\ \mathbf{0} & \mathbf{H}_{22} \end{bmatrix}, \mathbf{B} = \begin{bmatrix} \mathbf{0} & -\mathbf{H}_{12} \\ -\mathbf{H}_{21} & \mathbf{0} \end{bmatrix}$$

$$\mathbf{u} = \{ \mathbf{u}_1, \mathbf{u}_2 \}^T, \mathbf{u}^I = \{ \mathbf{u}_1^I, \mathbf{u}_2^I \}^T \quad (3)$$

このとき、式(2)は次のように書ける。

$$\mathbf{A}\mathbf{u} = \mathbf{u}^I + \mathbf{B}\mathbf{u} \quad (4)$$

ここで、式(4)に \mathbf{A} の逆行列 \mathbf{A}^{-1} を左から作用させて次式を得る。

$$\mathbf{u} = \mathbf{A}^{-1}\mathbf{u}^I + \mathbf{C}\mathbf{u} \quad (5)$$

ここに、 \mathbf{A}^{-1} と \mathbf{C} は次のようである。

$$\mathbf{A}^{-1} = \begin{bmatrix} \mathbf{H}_{11}^{-1} & \mathbf{0} \\ \mathbf{0} & \mathbf{H}_{22}^{-1} \end{bmatrix} \quad (6)$$

$$\mathbf{C} = \mathbf{A}^{-1}\mathbf{B} = \begin{bmatrix} \mathbf{H}_{11}^{-1} & \mathbf{0} \\ \mathbf{0} & \mathbf{H}_{22}^{-1} \end{bmatrix} \begin{bmatrix} \mathbf{0} & -\mathbf{H}_{12} \\ -\mathbf{H}_{21} & \mathbf{0} \end{bmatrix} \quad (7)$$

式(5)における右辺第1項は既知であるので、これを \mathbf{u} の第0次近似とする。このとき、式(6)よりわかるように、第0次近似は入射波だけによる空洞の自己応答を表す。以下、第1、第2、第3次近似は次のように空洞間の相互応答(式(5),(7)参照)を順次表す表現となる。

$$\begin{aligned} \mathbf{u}_0 &= \mathbf{A}^{-1}\mathbf{u}^I \\ \mathbf{u}_1 &= \mathbf{u}_0 + \mathbf{C}\mathbf{u}_0 \\ \mathbf{u}_2 &= \mathbf{u}_0 + \mathbf{C}\mathbf{u}_1 = \mathbf{u}_0 + \mathbf{C}\mathbf{u}_0 + \mathbf{C}^2\mathbf{u}_0 \\ \mathbf{u}_3 &= \mathbf{u}_0 + \mathbf{C}\mathbf{u}_2 = \mathbf{u}_0 + \mathbf{C}\mathbf{u}_0 + \mathbf{C}^2\mathbf{u}_0 + \mathbf{C}^3\mathbf{u}_0 \\ &\vdots \\ &\vdots \\ &\vdots \end{aligned} \quad (8)$$

これより、第n次近似は次式のように書ける。

$$\mathbf{u}_n = \mathbf{u}_0 + \mathbf{C}\mathbf{u}_{n-1} = \sum_{k=0}^n \mathbf{C}^k \mathbf{u}_0 \quad (9)$$

これが解 u のボーン級数的表現である。

4. 解析モデル

実際の数値解析では、Fig. 1 に示したモデルにおいて、 $d = a$ 、とおいた。すなわち、2つの空洞を半径の等しい円形とし、空洞間の距離を空洞の半径に等しくしたものである。なお、入射波は次式で示される単位振幅の平面波である。

$$u^I = e^{ikx_2} \tag{10}$$

また、解析に用いた要素数は1つの円につき36要素であり、一定要素を用いた。

5. 数値計算例

Fig. 2 および Fig. 3 は、1つの空洞の場合について、積分方程式法の結果を Morse の結果 (1) によって検証したものである。Fig. 4 および Fig. 5 は、2つの空洞による多重散乱問題を、式 (9) に示したボーン級数による解法により解析した結果である。図の実線は、式 (1) に示した積分方程式系を解いた結果であり、○、△、□ がボーン級数による結果である。図には第2次近似までを示したが、第3次近似は、ほぼ完全に実線と一致する。より詳しい収束性の検討など、詳細は当日報告する。

参考文献 (1) Morse, P.M., Vibration and Sound, McGraw-Hill, 1948.

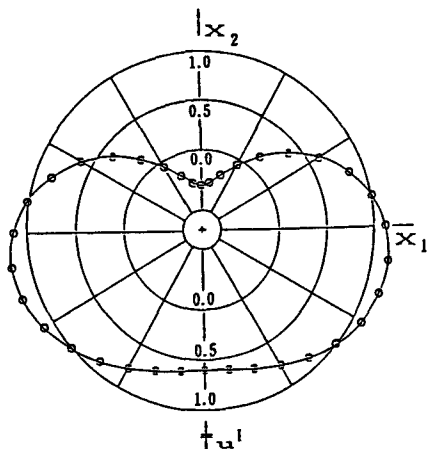


Fig. 2 Real part of u for single cavity (○: BEM, 実線: Morse, $aR_T = 1.0$)

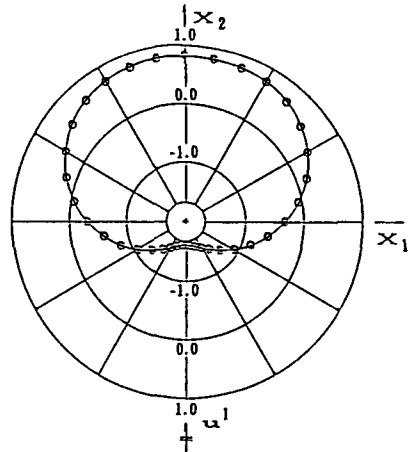


Fig. 3 Imaginary part of u for single cavity (○: BEM, 実線: Morse, $aR_T = 1.0$)

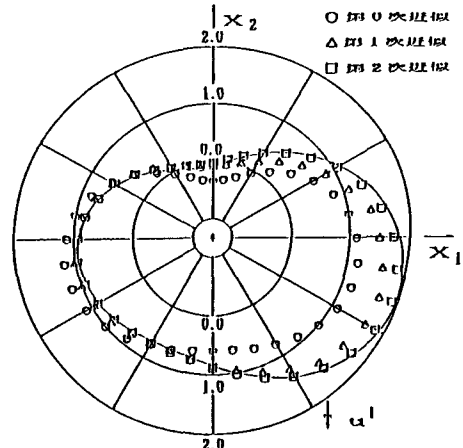


Fig. 4 Real part of u for double cavities ($aR_T = 1.0$)

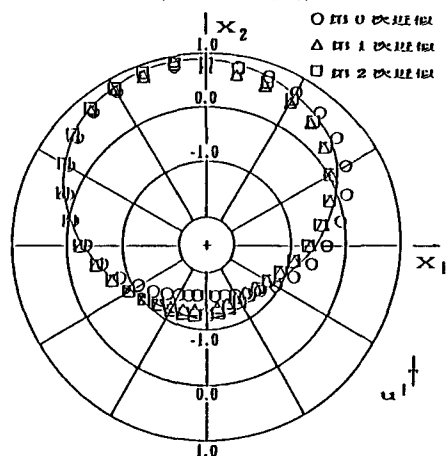


Fig. 5 Imaginary part of u for double cavities ($aR_T = 1.0$)